



14.20-IM-AP-102 . Otra vista del berrocal granodiorítico .



14.20-IM-AP-103 . Aspecto morfológico de la granodiorita ($\gamma\gamma$) con disyucción bolar típica.



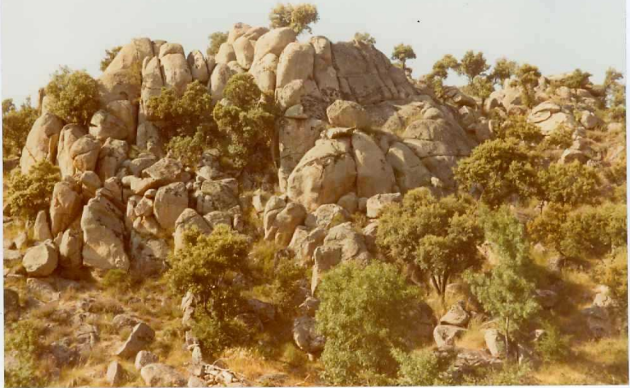
14.20-IM-AP-104 . Dique de cuarzo de Cabezas del Villar .

14.20-IM-AP-66 . Aspecto macroscópico de la granodiorita tardía . Destaca su aspecto homogéneo y la ausencia de orientación.





14.20-IM-AP-68 . Enclaves dentro de la granodiorita .



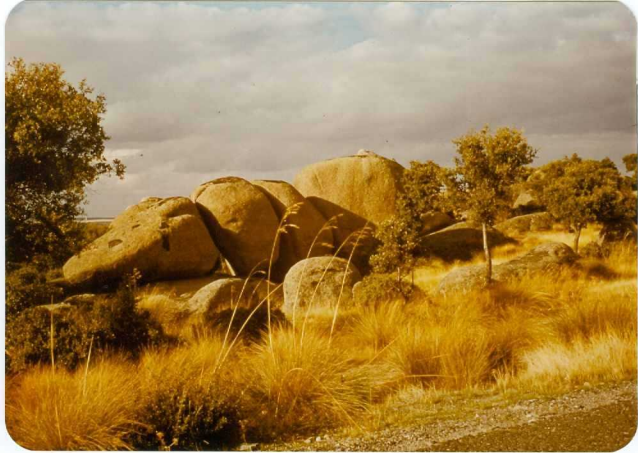
14.20-IM-AP-80 . Tipo de berrocal correspondiente al granito de 2 micas (γ_{mb}).



14.20-IM-AP-85 . Aspecto de los materiales metamórficos al W de San Miguel de la Serrezuela (alternancia de cuarcitas y esquistos micaceos) . (CA-PC).



14.20-IM-AP-85 . Lineaciones de crenulación (CA-PC) .



14.20-IM-VA Disyunción en bolos de la granodiorita en las proximidades de Cabezas del Villar.



14.20-IM-VA-1024 Niveles de cantes y arenas arkósicas microconglomeráticas, con arenas gruesas de la facies de Navales. Ctra. de Alba de Tormes a Garcihernández, Km. 26.



,14.20-IM-VA-1025 Similar a la siguiente. Estrific. cruzada marcada por alineaciones de cantos.



14.20-IM-VA-1026 Proximidades de Gallegos de Crespés. Arroyo de Larrodrigo meandriforme. Ladera tendida con doble pendiente al W y más verticalizada



14.20-IM-VA-1032 Depósito con facies fluvial ($Q_1 I$) al S. de Larrodrigo.



14.20-IM-VA-1034 Cauce sepenteante en las proximidades de Herreuelo. La llanura aluvial actual está encajada unos 2-3 m. en las arenas de la Facies de Gajates. Localmente diseca la llanura aluvial anterior y deja colgados retazos de la misma.



14.20-IM-VA-1044 Facies de Gajates al S de Navales con suelo rojo truncado por coluvión de cantos de cuarzo y cuarcita.



14.20-IM-VA-1059 Corte de Valeros. Limos verdosos con nódulos (mango del martillo) erosionados por canal arenoso de base casi plana con nódulos arrastrados concentrados en la base. Carbonatación posterior en vetas y enrejado. Facies de Gajates.



14.20-IM-VA-1060 Arenas con estratificación cruzada plana tendida en Santiago de la Puebla. Facies de Gajates.



14.20-IM-VA-1075 Arenas arkósicas con laminación paralela, limosas al techo.
N de Alaraz. Facies de San Mamés.



14.20-IM-VA-1083 Enrejado de carbonatos en nivel limoso de la Facies de Gajates,
al SE de Turra de Alba.



14.20-IM-VA-1093 Tramos superiores del corte de Velillas con rasgos de hidromorfismo en la base del depósito conglomerático con facies fluvial ($Q_1 I$)



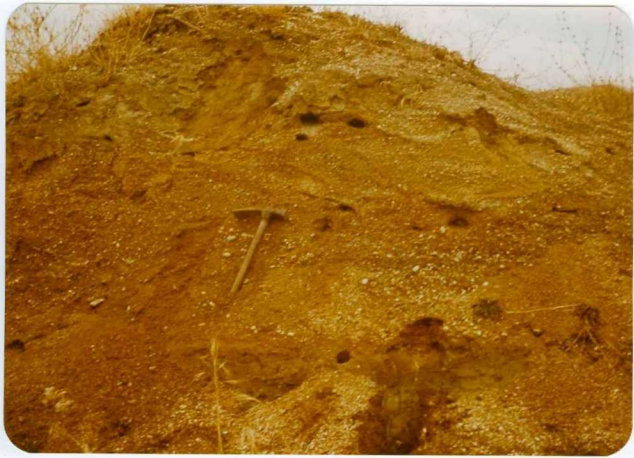
14.20-IM-VA-1094 Facies conglomerática con estratificación cruzada muy tendida, plana, pavimentos, laminación, etc. en la base de la Facies de Navales.



14.20-IM-VA-1096 Detalle de la fotografía anterior. Laminación cruzada con láminas suavemente curvadas en sets menor de 0,5 m., cantos inclinados, etc.



14.20-IM-VA-1097 Facies de Navales. Arenas arkósicas anaranjadas con laminación cruzada. A techo depósitos de limos arenas rojas con cantos de cuarzo. Sur de Navales.



14.20-IM-VA-1102 Arenas arkósicas beiges y rosadas con tramos más finos verdosos. Estratificación cruzada y laminación curvada en sedimentos localmente bien clasificados.



14.20-IM-VA-1103 Detalle mostrando los pequeños surcos en los canales casi planos, acentuados por la carbonatación secundaria.



14.20-IM-VA-1104 Detalle similar a la fotografía anterior.



14.20-IM-VA-1105 Explotación de arena y gravilla al S de Alaraz en Facies de San Mamés. La dirección de los aportes es de N-130°E hacia el NW. -- Obsérvense ritmos inferiores a los 2 m. de potencia y los niveles de carbonatación secundaria con escasa continuidad.

W

adrid - ovie



14.20-IM-VA-1107-1108-1109 Panorámica desde las lomas al N. La Alguería en primer término es la de Martín Vicente, sobre la 1^a terraza del Tormes. Afloran las arkosas blancas de la F. de Gajates y al E y por encima de la línea de trazos las de la F. de Navales en las casas de Revilla Alta.

NE

SW



14.20-IM-VA-1110 La superficie con depósitos al NE de Gajates. Hay pequeñas lomas al fondo de la superficie.



14.20-IM-VA-1112 Terraza $Q_1 T_{2M}$ sobre arenas arkósicas blancas de la F. de Gajates al SW de Macotera.



14.20-IM-VA-1113 EScarpe de la superficie alta con depósitos sobre las arenas de la F. de Gajates al SW de Macotera (Km. 14 de la carretera a Gajates).



14.20-IM-VA-1116 Cárcavas en la F. de San Mamés, al N de Malpartida.



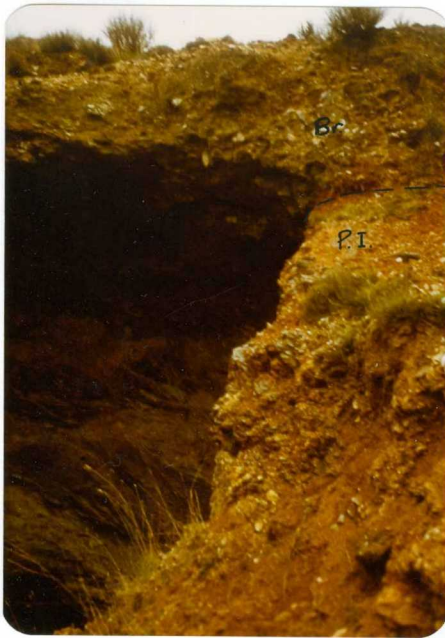
14.20-IM-VA-1120 Terraza $Q_1 T_{1G}$ en Pedrosillo de Alba, sobre arkosas blancas verdosas.



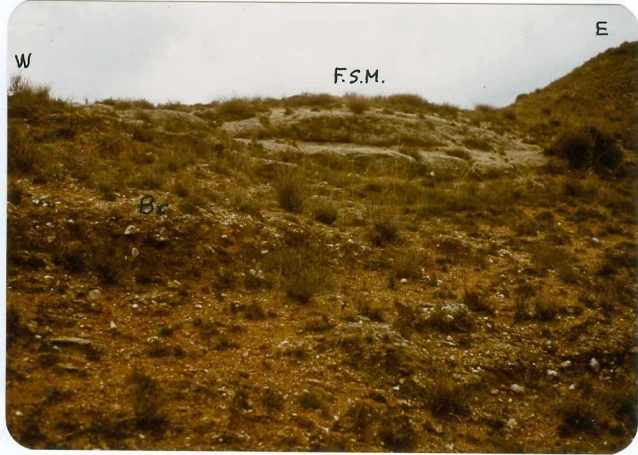
14.20-IM-VA-1121 Contacto discordante sobre esquistos y pizarras infraorden-vícicas de la F. de San Mamés. Km. 21 de la Ctra. de Alba de Tormes a -- Piedrahita.



14.20-IM-VA-1122 Próxima a la anterior. Organización del material muy heterométrico, en capas con pequeña continuidad, con abundantes superficies erosivas.



14.20-IM-VA-1128 Contacto de la brecha basal sobre las pizarras y esquistos muy alterados y rubefactados. Detalle de la fotografía anterior.



14.20-IM-VA-1129 Areniscas calcáreas microconglomeráticas de la F. San Mamés (F.S.M.) sobre la brecha basal (Br.) Misma localidad anterior.

N.



S.



14.20-IM-VA-1130-1131 Contacto del Terciario con las Pizarras Infraordovícicas (P.I.) al S de Garci-Grande. Sobre la brecha discordante (Br.) se disponen las arkosas, a veces carbonatadas, de la Facies de San Mamés (F.S.M.) inclinadas unos 9° al N.



14.20-IM-VA-114 Cauce en estiaje del Río Margañán en Santiago de la Puebla. Con aprovechamiento de los depósitos para áridos.



14.20-IM-VA-1043 Areniscas carbonatadas en la facies de San Mamés, en el corte tipo.